

ХАРАКТЕРИСТИКИ ПОЛУПРОВОДНИКОВОГО ДИОДА С РЕЗКИМ ПЕРЕХОДОМ ПРИ ВЫСОКИХ УРОВНЯХ ИОНИЗИРУЮЩИХ ИЗЛУЧЕНИЙ

Кудряшов Н. А., Кучеренко С. С.

На основе анализа уравнений дрейфово-диффузионной модели для случая «короткого» диода (диффузионные длины много больше толщин p - и n -областей) с резким переходом и контактами рекомбинационного типа получены соотношения, описывающие зависимость ионизационного тока от параметров структуры и темпа ионизации (учтывается только межзонная генерация носителей). Определены пороговые значения темпа генерации G^* , при которых снимается потенциальный барьер $p-n$ -перехода. Проведено сравнение аналитического и численного решений. Характеристики «длинного» диода рассчитаны численно. Показано, что аналитические соотношения, полученные для случая короткого диода, являются предельными для длинного диода. Предложенный подход позволяет рассчитывать ионизационные и фотоэлектрические характеристики структур с нерезким переходом.

Расчет характеристик полупроводниковых структур, подвергающихся воздействию интенсивных ионизирующих излучений, необходим как при решении вопросов радиационной стойкости полупроводниковых элементов, работающих в радиационных полях (γ -излучение), так и при исследовании фотопроводников, облучаемых интенсивным лазерным излучением, солнечных батарей, работающих при концентрации солнечной энергии и т. п. Основной особенностью рассматриваемых процессов является генерация в результате воздействия ионизирующих излучений (γ - или фотоизлучений с энергией фотона $\hbar\omega \geq E_g$) больших концентраций неравновесных носителей заряда (ННЗ). При этом простые линейные модели, основанные на предположении о зарядовой нейтральности полупроводника, для описания процессов в полупроводниковых структурах, содержащих $p-n$ -переходы, в случае высоких уровней ионизации неприменимы ввиду существенно нелинейного поведения фотоиндуцированных носителей, образующих объемный заряд как в объеме полупроводника, так и вблизи контактов. Анализ процессов в полупроводниковых структурах, подвергающихся воздействию интенсивной ионизации, проведенный в ряде работ [1, 2], базируется на упрощающих предположениях и носит оценочный характер. В ряде работ для конкретных случаев ионизационные характеристики полупроводниковых структур исследовались численно. Так, в работе [3] анализировались радиационные эффекты в кремниевых PIN-диодах и транзисторах при высоких дозах γ -излучения. Численный расчет кремниевого PIN-фотодетектора при интенсивном импульсном и непрерывном фотовозбуждении был проведен в [4]. Решение задачи о фотоинжекции пакета неравновесных носителей заряда в полупроводниковую структуру с $p-n$ -переходом получено в [5, 6]. В работе [7] развита теория фотоэлектрических процессов в диоде в предположении, что концентрация фотовозбужденных носителей Δn много больше темновой: $\Delta n \gg n_0$, объемным зарядом всюду вне обедненной области $p-n$ -перехода можно пренебречь. Рассматривался случай «длинного» диода:

$$\Theta_n = L_n/W_n \ll 1, \quad \Theta_p = L_p/W_p \ll 1,$$

где W_n , W_p — толщины n - и p -областей, $L_n = (D_n \tau_n)^{1/2}$, $L_p = (D_p \tau_p)^{1/2}$ — диффузионные длины электронов и дырок соответственно. В том же предельном случае

длинных структур рассмотрены переходные ионизационные эффекты в полупроводниковых элементах в [8]. Выражение для ионизационного тока диода, приведенное в [8], имеет вид

$$I_n = eG AJ, \quad J = \lambda_p W_p + d_0 + \lambda_n W_n, \quad (1)$$

где A — площадь перехода, J — плотность потока, d_0 — толщина области, обедненной подвижными носителями заряда, λ_n , λ_p — коэффициенты сопирания носителей из n - и p -областей. В стационарном случае при низких уровнях возбуждения ННЗ коэффициенты λ_n , λ_p имеют простой вид

$$\lambda_n = \Theta_n, \quad \lambda_p = \Theta_p.$$

Для случая высоких уровней возбуждения аналитические выражения для коэффициентов сопирания λ_n , λ_p не найдены.

В настоящей работе проведен анализ процессов в кремниевом диоде с резким переходом при высоких уровнях ионизирующих излучений. Для случая

$$\Theta_n \gg 1, \quad \Theta_p \gg 1 \quad (2)$$

(«короткий» диод) на основе уравнений дрейфово-диффузионной модели проводится теоретический анализ характеристик диода в зависимости от темпа генерации G и параметров структуры. Для случая длинного диода задача решается численно.

Система уравнений дрейфово-диффузионной модели, описывающая процессы переноса ННЗ в полупроводниках, имеет следующий вид:

$$\begin{aligned} dj_n/dx &= G - R(n, p), \quad j_n = -D_n dn/dx - \mu_n n E, \\ dj_p/dx &= G - R(n, p), \quad j_p = -D_p dp/dx + \mu_p p E, \\ dE/dx &= e/\epsilon\epsilon_0(p - n + N(x)), \\ R(n, p) &= (pn - n_{ie}^2)[1/(\tau_p(n + n_{ie}) + \tau_n(p + n_{ie})) + C_n n + C_p p]. \end{aligned} \quad (3)$$

При записи (2) использовались общепринятые в теории полупроводников обозначения. Значения констант оже-рекомбинации брались из работы [9].

Границные условия к системе (2) имеют следующий вид (рассматриваются контакты металл—полупроводник):

$$\begin{aligned} j_n i &= V_n^T (n^r - n_0), \quad j_p i = -V_p^T (p^r - p_0), \\ \int_0^L E(x) dx &= \bar{U}_0, \end{aligned} \quad (4)$$

где i — вектор нормали, направленный внутрь полупроводниковой структуры, V_n^T , V_p^T — скорости эмиттируемых носителей, n_0 , p_0 — равновесные концентрации носителей вблизи контактов, L — длина структуры, $\bar{U}_0 = U_0 + U_{bi}$; U_0 — приложенное внешнее напряжение, U_{bi} — встроенный потенциал.

Рассмотрим случай короткого диода (2). Отметим, что выполнение условий (2) может нарушаться при сверхвысоких уровнях фотовозбуждения G за счет уменьшения эффективного времени жизни неравновесных носителей заряда из-за включения нелинейных каналов рекомбинации. Данная ситуация будет рассмотрена особо. При выполнении (2) в системе уравнений (3) можно пренебречь рекомбинацией, в результате уравнения непрерывности запишутся в виде

$$dj_p/dx = G, \quad dj_n/dx = G. \quad (5)$$

Рассмотрим p -область диода. Вследствие высокой скорости поверхностной рекомбинации ННЗ на контакте металл—полупроводник и высокой скорости выноса ННЗ на $p-n$ -переходе концентрация неравновесных неосновных носителей на концах p -области хотя и возрастает при воздействии ионизации по сравнению с равновесной, но все же остается значительно меньшее концентрации ННЗ в объеме, поэтому можно считать, что

$$n(0) = 0, \quad n(W_p) = 0. \quad (6)$$

Второе из этих условий нарушается при снятии потенциального барьера $p-n$ -перехода, что наблюдается для $G > G_n^*$, значение G_n^* будет приведено далее. Для случая низкого уровня возбуждения [$\Delta n \ll N_A$, $\Delta n = \max(n(x))$, $0 \leq x \leq W_p$] дрейфовой компонентой потока неосновных носителей заряда можно пренебречь ($\mu_n \Delta n |E| \ll D_n |dn/dx|$), вследствие чего уравнение непрерывности для электронов (5) запишется в виде

$$D_n d^2 n / dx^2 = -G. \quad (7)$$

Решая граничную задачу (6), (7), получим

$$n(x) = -G(x - W_p) / 2D_n. \quad (8)$$

Отсюда находим значение потока неосновных носителей на границах p -области:

$$j_n(0) = -GW_p/2, \quad j_n(W_p) = GW_p/2. \quad (9)$$

В отличие от неосновных носителей заряда поток дырок в p -области вследствие их высокой концентрации имеет доминирующую дрейфовую компоненту:

$$j_p = -D_p dP/dx + \mu_p pE \approx \mu_p N_A E. \quad (10)$$

Учитывая, что ток преимущественно создается основными носителями, т. е. $J = j_p \approx \mu_p N_A^* E$, где N_A^* — концентрация акцепторов в p -области, можно получить характерное значение напряженности электрического поля в p -области:

$$\bar{E}_p = J / \mu_p N_A. \quad (11)$$

С ростом темпа генерации G увеличиваются как концентрация неравновесных электронов в p -области, так и напряженность электрического поля в ней. В результате дрейфовая компонента потока электронов, растущая пропорционально G^2 , при некотором G_n становится сравнимой с диффузионной, растущей $\sim G$, а при $G > G_n$ начинает преобладать. Для определения величины G_n необходимо найти выражение для полного потока J , которое определяется параметрами как p -, так и n -области. Поэтому до установления зависимости J от параметров структуры и темпа фотогенерации приведем выражение для G_n в следующем условном виде:

$$G_n = 4D_p N_A / (J/G_n) W_p. \quad (12)$$

Полное определение величины G_n через параметры структуры может быть получено лишь после нахождения зависимости $J(G)/G$. При $G \approx G_n$ (под \approx будем понимать значения \leqslant и \geqslant) уравнение непрерывности электронов (7) переходит в (13):

$$-D_n d^2 n / dx^2 - \mu_n \bar{E}_p dn / dx = G. \quad (13)$$

Решение задачи (13), (6) имеет следующий вид:

$$\begin{aligned} n(x) &= -G(x - b_p^{-1}) / D_n b_p + B_p \exp(-b_p x) - j_n^0 / D_n b_p, \\ B_p &= (j_n^0 - G/b_p) / b_p D_n, \quad b_p = \bar{E}_p / \varphi_T, \\ j_n^0 &= j_n(0) = G(\exp(-b_p W_p) / b_p + (W_p - b_p^{-1})) / (\exp(-b_p W_p) - 1). \end{aligned} \quad (14)$$

При $G > G_n$ в первом порядке разложения по малому параметру G_n/G из (14) получим выражение для j_n^0

$$j_n^0 = G/b_p = G D_p N_A / J \quad (15)$$

и для Δn

$$\Delta n = -G W_p / D_n b_p. \quad (16)$$

Из (16) следует, что для кремниевой структуры $\Delta n < N_A$ (более подробно это будет показано далее), поэтому оценка для характерного значения напряженности электрического поля \bar{E}_p (11) справедлива и в области значений интенсивно-

сти $G > G_n$. При $G \gg G_n$, как следует из (15). $|j_n^0| \ll |J|$ (как будет показано далее, полный поток J пропорционален темпу генерации G в широком интервале изменения параметров p - и n -областей). Поэтому граничные условия для уравнений непрерывности (5) можно записать в следующем виде:

$$j_n(0) = 0, \quad j_p(0) = J. \quad (17)$$

Отсюда имеем выражение для потока электронов и дырок во всей области диода:

$$j_n = Gx, \quad j_p = Gx + J. \quad (18)$$

Увеличение напряженности электрического поля и концентрации ННЗ в p -области приводит при $G \gg G_n$ к доминированию дрейфовой компоненты потока ННЗ. С учетом этого из (18) находим распределение напряженности электрического поля в p -области:

$$E(x) = (J + Gx)/\mu_p p \approx (J + Gx)/\mu_p N_A. \quad (19)$$

Падение потенциала в p -области равно

$$\int_0^{w_p} E(x) dx = U_p. \quad (20)$$

Значение U_p зависит, вообще говоря, от значений параметров как в p -, так и в n -областях. Если сопротивление p -области, которое можно определить как

$$R_p = \bar{E}_p W_p / e J = W_p / e \mu_p N_A, \quad (21)$$

значительно больше сопротивления n -области

$$R_n = W_n / e \mu_p N_D, \quad (22)$$

то с ростом величины G значение U_p также будет возрастать, и при некотором $G = G_n^*$ все напряжение высадится в p -области: $U_p = U_0$. Подставляя (19) в (20), при $G = G_n^*$ для J получим

$$J = U_0 / e R_p - G_n^* W_p / 2. \quad (23)$$

Снятие потенциального барьера $p-n$ -перехода приводит к резкому росту концентрации ННЗ в области перехода, что вызывает включение нелинейных каналов рекомбинации. В результате в правой части p -области образуется квазинейтральная плазма ННЗ, а в левой части — запорный слой объемного заряда, на котором происходит основное падение потенциала. Наличие больших градиентов концентрации ННЗ в левой части области приводит к увеличению вклада диффузационной компоненты в поток подвижных носителей. Допущения, положенные в основу развивающейся теории, перестают выполняться, и количественный расчет процессов в этом случае может быть адекватно проведен только на основании численного решения задачи (3), (4).

Для полного определения характеристик диода при воздействии ионизирующего излучения необходимо самосогласованное описание процессов как в p -, так и в n -областях. Для того чтобы получить в n -области аналогичные (6)–(23) результаты, достаточно заменить параметры p -области на параметры n -области и параметры электронов на параметры дырок. В дальнейшем нам потребуется выражение для $j_p^0 = j_p(W_p)$:

$$j_p^0 = G (\exp(-b_n W_n)/b_n + (W_n - b_n^{-1})) / (\exp(-b_n W_n) - 1). \quad (24)$$

справедливое при $G \approx G_p$, и выражение для падения потенциала в p -области при $G \gg G_p$:

$$\int_{w_p}^L E(x) dx = U_n, \quad (25)$$

$$E(x) = -(G(x-L) - J)/\mu_n N_D. \quad (26)$$

Отметим, что в отличие от p -области, где $\Delta n < N_A$ как при $G \leq G_n$, так и при $G \geq G_p$, максимальное значение концентрации неравновесных неосновных носителей в n -области Δp при $G \geq G_p$ может превышать концентрацию доноров N_D , если не выполнено условие

$$\times W_n G/J < 1, \quad (27)$$

где $\times = D_n/D_p$. Например, для случая $G > G_n$, $G > G_p$ из (27) следует неравенство

$$W_n < W_p / (\times - 1).$$

Аналогичное условие выполнения неравенства $\Delta n < N_A$ в p -области имеет вид

$$W_n > W_p (1 - \times) / \times$$

и для кремния ($\times \approx 3$) выполняется при любом соотношении длин W_n и W_p .

В случае нарушения (27) полученные соотношения могут использоваться при $G \leq G_p$. При $G_p \ll G \leq G_p^*$ (G_p^* — пороговое значение снятия потенциального барьера $p-n$ -перехода) независимо от справедливости (27) $j_p(W_p) = 0$ и выражения для потоков электронов и дырок имеют вид

$$j_n = G(x-L) - J, \quad j_p = G(x-L). \quad (28)$$

Полученные нами выражения позволяют в зависимости от соотношения параметров в p - и n -областях и от величины темпа генерации определить значения полного потока J . Результаты расчетов приведены в таблице, в которой для различных соотношений между величинами G , G_n , G_p указаны: 1 — механизмы переноса неосновных носителей в p - и n -областях (условные обозначения, приведенные в 3 и 4 столбцах, следующие: Д — диффузионный, ДД — дрейфово-диффузионный, ДД—ДР — дрейфово-диффузионный, переходящий в дрейфовый при выполнении строгих неравенств: $G > G_n$ или $G > G_p$, ДР — дрейфовый механизмы); 2 — выражения для J , определяемые параметрами структур и темпом генерации G . Эти выражения представлены в явном виде при выполнении сильных неравенств [(1), (5), (9), (13)] или в неявном виде при выполнении слабых неравенств. В последнем случае для определения J необходимо решить уравнение вида $J = F(J)$, где в $F(J)$ входят функции $j_n(0)$, $j_p(W_p)$, определенные в (14), (24); 3 — предельные выражения для J в случаях, допускающих выполнение строгих неравенств: $G > G_n$, $G > G_p$ [(6), (8), (11), (12), (14), (15), (16)] и выражения для G_n^* , G_p^* [(5), (9)], а также выражение для G^* [(13)], которое получается из решения уравнения $U_p + U_n = U_0$, где U_p , U_n определяются (20) и (25) соответственно. Выражения для G_n^* , G_p^* [(7), (10)], а также для G^* [(14), (15)] в явном виде получить не удается, так как для этих случаев $J(G)$ не имеет простого явного выражения. Для оценки, однако, можно использовать значения G_n^* , G_p^* , G , найденные в (5), (9), (13) соответственно. Полученные значения G_n^* , G_p^* справедливы при соответственно $|U_0| < eLR_p G_p/2$ и $|U_0| < eLR_n G_n/2$. При нарушении этих неравенств пороговая интенсивность структуры равна G^* .

Отметим, что при $G > G_p^*$ полученные выражения справедливы при выполнении условия (27) [(11), (12), (15), (16)]. Для случая сильного неравенства $G \gg G_p^*$ выражения для тока справедливы и при нарушении условия (27). Значение пороговой интенсивности G_p^* [(9)] при нарушении условия (27) может использоваться лишь для оценки. Это же справедливо и для значения пороговой интенсивности G^* при $R_p \ll R_n$ [при $R_p > R_n$ основное падение потенциала происходит в p -области, и выражение для G^* справедливо независимо от выполнения (27)].

Для проверки полученных решений задача (3), (4) была решена численно. Методика численного решения изложена в [10]. В качестве тестовой структуры был выбран симметричный диод с резким $p-n$ -переходом со следующими параметрами: $N_A = N_D = 10^{16} \text{ см}^{-3}$, $W_n = W_p = 50 \text{ мкм}$. Как было показано, иониза-

№ образца	G, G_n, G_p	Области		J	Предельные значения J и пороговых интенсивностей
		p	n		
1	$G \ll \begin{cases} G_p \\ G_n \end{cases}$	Д	Д	$-\frac{GL}{2}$	
2	$G \ll G_p$ $G \leq G_n$	ДД	Д	$-G\left(\frac{W_n}{2} + W_p\right) - j_n(0)$	
3	$G \leq G_p$ $G \ll G_n$	Д	ДД	$-G\frac{W_p}{2} + j_p(W_p)$	
4	$G \leq \begin{cases} G_p \\ G_n \end{cases}$	ДД	ДД	$j_p(W_p) - j_n(0) - GW_p$	
5	$G_n \ll G \ll G_p$	ДР	Д	$-G(W_p/2 + W_p)$	$G \leq G_n^* = 2 U_0 / eLR_p$ $ U_0 < eLR_p G_p / 2$
6	$G_n \leq G \leq G_p$	ДД—ДР	Д	$-G\frac{W_n}{2} j_n(0) - GW_p$	$-G\left(\frac{W_n}{2} + W_p\right)[1 +$ $+ (1 - 4D_p N_A / G \left(\frac{W_n}{2} + W_p\right)^2)^{1/2}] / 2,$ $G > G_n$ $G \leq G_n^*$
7	$G_n \ll G \leq G_p$	ДР	ДД	$j_p(W_p) - GW_p$	
8	$G_n \leq G \leq G_p$	ДД—ДР	ДД	$j_p(W_p) - j_n(0) - GW_p$	$j_p(W_p) - G [W_p + 1/b_p], G > G_n$
9	$G_n \geq G \geq G_p$	Д	ДР	$-G(W_p/2 + W_n)$	$G \leq G_p^* = 2 U_0 / eLR_n$ $ U_0 < eLR_n G_n / 2$ $G \leq G_p^*$
10	$G_n \geq G \geq G_p$	ДД	ДР	$j_n(0) - GL$	$-G\left(\frac{W_p}{2} + W_n\right)[1 +$ $+ (1 - 4D_n N_D / G \left(\frac{W_p}{2} + W_n\right)^2)^{1/2}] / 2,$ $G > G_p$
11	$G_n \geq G \geq G_p$	Д	ДД—ДР	$-G\frac{W_p}{2} + j_p(W_p)$	$-j_n(0) - G [W_p - 1/b_n], G > G_p$
12	$G_n \geq G \geq G_p$	ДД	ДД	$j_p(W_p) - j_n(0) - GW_p$	
13	$G \geq \begin{cases} G_p \\ G_n \end{cases}$	ДР	ДР	$-GL$	$G \leq G^* = U_0 / eR_p (W_n \times$ $\times (1 + R_n / 2R_p) + W_p (1/2 + R_n / R_p))$
14	$G \geq G_p$ $G \geq G_n$	ДД—ДР	ДР	$-j_n(0) - GL$	$-GL [1 + (1 - 4D_p N_A / GL^2)^{1/2}] / 2,$ $G_n < G \leq G^*$
15	$G \geq G_p$ $G \geq G_n$	ДР	ДД—ДР	$j_p(W_p) - GL$	$-GL [1 + (1 - 4D_n N_D / GL^2)^{1/2}] / 2,$ $G_p < G \leq G^*$
16	$G \geq \begin{cases} G_p \\ G_n \end{cases}$	ДД—ДР	ДД—ДР	$j_p(W_p) - j_n(0) - GW_p$	$-GL [1 + (1 - 4(D_n N_D + D_p N_A) /$ $GL^2)^{1/2}] / 2, G > \left\{ \begin{array}{l} G_n \\ G_p \end{array} \right\}$

ционные характеристики структуры определяются соотношением величин G_n и G_p . Для рассматриваемого случая $G_p/G_n \approx R_p/R_n = \infty$. Исходя из этого можно определить последовательность вариантов таблицы, описывающую динамику $I_n(G)$: (1), (2), (8), (15) (или 13 в зависимости от U_0). Из представленных на рис. 1 расчетов зависимости тока I_n , отнесенного к величине G , от темпа генерации G следует, что теоретический расчет с хорошей точностью соответствует результатам численных расчетов, несмотря на то, что для рассматриваемой структуры условие (27) не выполняется. Последнее обстоятельство, однако, не вносит существенных погрешностей в полученные в таблице результаты, поскольку для тестовой структуры $R_n < R_p$. Как видно из рис. 1, при $G > G^*(U_0)$, где $G^*(U_0)$ — расчетные значения пороговой интенсивности, отмеченные вертикальной чертой, в зависимости I_n/G от G наблюдается резкий спад. При отсутствии нелинейной рекомбинации ($C_n = C_p = 0$) он обусловлен возникновением запорного слоя объемного заряда в приконтактной части более высокомонной p -области (кри-

вая 2—2'). Поскольку действие оже-рекомбинации влияет на динамику ННЗ, спад зависимости $I_{\text{н}}/G$ значительно усиливается (кривая 2—2''). Отметим, что особенностью поведения зависимости $I_{\text{н}}/G$ при $G_p \ll G \leq G^*$ является выход на постоянное значение, равное eL (кривые 2). Максимальное значение величины тока $I_{\text{н}}^*$ достигается при $G=G^*$ (\bar{U}_0). Значение $I_{\text{н}}^*$ для случая обратносмещенного

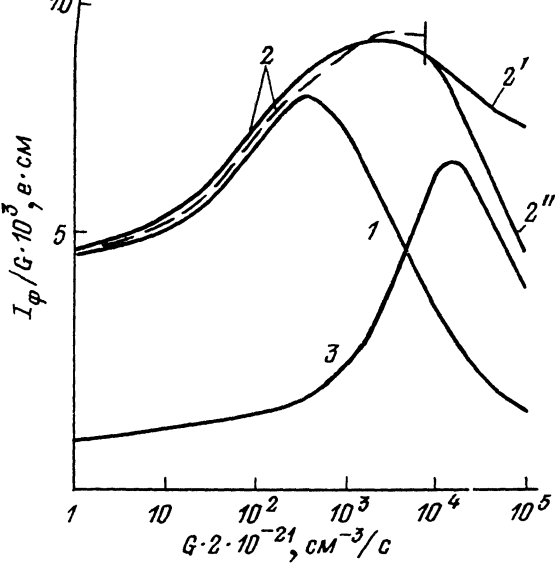


Рис. 1. Авиесимость фототока от интенсивности излучения.

1 — $U_0=0$ В; $\Theta=10$; 2, 2', 2'' — $U_0=-20$ В; $\Theta=10$; 2, 2' — без учета оже-рекомбинации; 2, 2', 2'' — с учетом оже-рекомбинации; 3 — $U_0=0$ В; $\Theta=0.1$. Сплошные линии — численный расчет, штриховые — теоретические зависимости.

диода с $|\bar{U}_0| > eLR_pC_p/2$ равно $eG^*L=8/3e\mu_pN_A|\bar{U}_0|/L$. Более высоколегированные структуры имеют большую величину $I_{\text{н}}^*$, однако при $G < G^*(N_A)$ ток менее легированной структуры больше (кривые 1, 3). Для случая длинного диода влияние рекомбинации приводит к уменьшению величины тока (кривая 3)

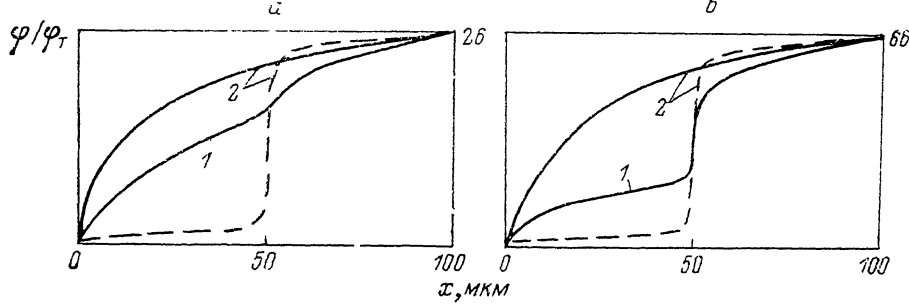


Рис. 2. Распределения потенциала $\varphi(x)$ для случаев «короткого» ($\Theta=10$, сплошные линии) и «длинного» ($\Theta=0.1$, штриховые линии) диода.

1 — $G_1=0.8 \cdot 10^{23} \text{ см}^{-3}/\text{с}$, 2 — $G_2=2 \cdot 10^{23} \text{ см}^{-3}/\text{с}$. U_0 , В: а — 0, б — —1.

и к сдвигу максимума зависимости $I_{\text{н}}/G$ от G в сторону больших G . Последний эффект связан с тем, что снятие потенциального барьера $p-n$ -перехода в случае длинных структур происходит при больших G , что показывают приведенные на рис. 2 распределения потенциала при $G_1=G^*(U_0=0 \text{ В})$ и $G_2=G^*(U_0=-1 \text{ В})$. Пороговая интенсивность для длинного диода при $U_0=0$ В равна $G^*=4 \cdot 10^{23} \text{ см}^{-3}/\text{с}$. Как следует из полученного решения, при $G < G^*$ в p -области $\Delta n < N_A$, для n -области в случае нарушения условия (27) концентрация ННЗ превышает «температурную» концентрацию основных носителей $\Delta p > N_D$. В соответствии с этим

приведенные на рис. 3 распределения ННЗ при $G < G_2$ (кривые 2) имеют пологую левую часть и колоколообразную правую часть с концентрацией ННЗ, превосходящей концентрацию ионизованных примесей N_D . В случае $G > G_1$ (кривые 1) снятие потенциального барьера $p-n$ -перехода приводит к резкому росту концентрации ННЗ на $p-n$ -переходе.

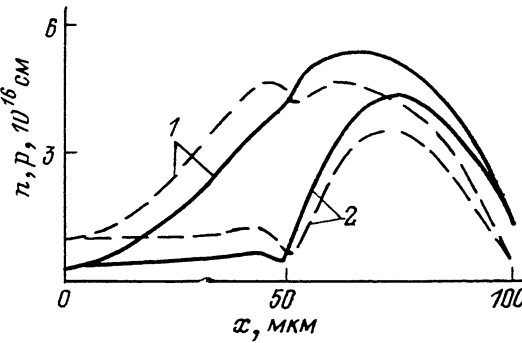


Рис. 3. Распределение концентрации ННЗ при $G = 1.6 \cdot 10^{23} \text{ см}^{-3}/\text{с}$, $\Theta = 10$.

U_0 , В: 1 — 0, 2 — 1. Сплошные линии — электроны, штриховые — дырки.

Таким образом, соотношения, полученные на основе анализа уравнений дрейфово-диффузационной модели для случая короткого диода, с высокой точностью позволяют определить ионизационный ток и пороговую интенсивность, при которой снимается потенциальный барьер $p-n$ -перехода. Для случая длинных диодов полученные соотношения могут быть использованы в качестве предельных. Предложенный подход позволяет описывать ионизационные и фотоэлектрические характеристики структур с нерезким $p-n$ -переходом (диффузионные, эпитаксиальные и т. п.).

Список литературы

- [1] Коршунов Ф. П., Богатырев Ю. В., Вавилов В. А. Воздействие радиации на интегральные микросхемы. Минск, 1986. 254 с.
- [2] Агаханян Т. М., Аствацатурьян Е. Р., Скоробогатов П. К. Радиационные эффекты в интегральных микросхемах. М., 1989. 256 с.
- [3] Gwyn C. W., Shcarfetter D. L., Wirth J. L. // IEEE Trans. 1967. V. NS-14. N 6. P. 153—159.
- [4] Conti M., Corda G., Padova M. De // Sol. St. Electron. 1979. V. 22. P. 151—155.
- [5] Андреев В. М., Еремин В. К., Ломашевич С. А., Строкан Н. Б. // ФТП. 1986. Т. 20. В. 10. С. 1856—1860.
- [6] Андреев В. М., Еремин В. К., Строкан Н. Б. // ФТП. 1988. Т. 22. В. 9. С. 1629—1633.
- [7] Keating P. N. // J. Appl. Phys. 1963. V. 36. N 2. P. 564—570.
- [8] Larin F. Radiation effects in semiconductor devices. N. Y., 1968.
- [9] Вайткус Ю., Гривицкас В. // ФТП. 1984. Т. 15. В. 10. С. 1894—1902.
- [10] Кудряшов Н. А., Кучеренко С. С., Сыцько Ю. И. // Математическое моделирование. 1989. Т. 1. В. 1. С. 12.